

赤外線源のカタログ

舞原俊憲・佐藤修二*

赤外線の波長領域は通常、PbS 検出器でカバーされるあたり、すなわち約 1μ から電波領域につながる 1000μ までほぼ 3 衍にわたる波長範囲と考えられる。この範囲の大部分は大気の水蒸気の吸収におおわれていて、地上で観測できるのは限られた大気の窓と呼ばれる幾つかのバンドだけである。従って地上の赤外線源カタログという場合、その窓の部分を使って多色測光を完備したカタログを作ること、或いは特定の波長での全天の掃天観測にもとづく赤外線源のカタログ作りなどが目標となる。しかし全天の掃天観測が可能なもの近赤外領域のみで、 5 ミクロン 以上では大気の輻射が圧倒的に強いため、広視野の観測が不可能になってしまふ。そのような条件のもとで作られたカタログらしいカタログというの是非常に少ないので、中にはカタログの体をなしていないと思われるものも含めていくつか紹介したい。一方上空観測では大気の吸収もほとんど無視できるほどになって、任意の波長での全天掃天観測が可能である。そのかわり観測時間が大変短いので、地上望遠鏡で行うような位置精度の高い赤外線のカタログは作りにくい。上空観測では今のところ全天をサーベイできているものは少く、多くは preliminary な実験で得られた赤外線源のリストといったものであるが、それらについても一応簡単に紹介してみたい。

1. 地上観測による赤外線源のカタログ

(1) UBVRIJKL Photometry of the Bright Stars, H.L. Johnson et al. 1966, Comm. Lunar and Planetary Lab.

このカタログはすでにこのシリーズ(15)の「星の明るさや色の星表」(1975年7月号)で紹介されている。近赤外域の測光システムを確立した Johnson らが、エル大学輝星カタログから 1567 個を選んで U, B, V, R, I に J (1.25μ), K (2.2μ), 及び L (3.4μ) を加えて 8

色の等級を記したものとなっている。近赤外の PbS 領域の測光精度は、K で ± 0.030 等、J-K は ± 0.025 等、L-K は 0.035 等となっており、通常の我々の近赤外測光観測で標準星として使うには適当なカタログである。観測はカタリーナ(アリゾナ)、トナンチントラ(メキシコ)の 2 観測所で 1963 年から開始され、1966 年に出版された。

(2) Two-Micron Sky Survey, G. Neugebauer and R. B. Leighton (1969) NASA SP-3047.

これは有名な Cal Tech (カリフォルニア工科大学) の 2μ 掃天において検出された天体のリストである。この掃天は結果の豊かさのみならず、はじめて新しい波長域 (2.2μ) に錐を下ろして天空を探った精神、そして機智に富んだ機械といい感心させられる点が多い。コストパフォーマンス比の最も高い傑作であろう。望遠鏡はエポキシ樹脂の放物面の上にアルミを蒸着したもので、口径 62 インチ, f/1, 赤道儀式で主焦点に液体窒素で冷却した PbS 素子のアレイとシリコン素子を配置している。主鏡を 20 Hz でガタガタと振動させて大気のバックグラウンド輻射をキャンセルする空間差動ショッピング方式をとっている。最低検出能は $4 \times 10^{-25} \text{ Watt/m}^2\cdot\text{Hz}$ (K で約 3 等) である。掃かれた領域は北限 $+81^\circ$ ~ 南限 -33° で 3 等より明るい 5612 個が掲げられている。領域は赤緯 10° ごとの帯に区分され、IRC 番号として符号 \pm に続いて、次の 2 衍が赤緯を表わしその数字の $\pm 5^\circ$ 以内に含まれることを示すようになっている。残る 3 衍は通し番号である。例えば IRC+10351 は Declination Zone $+5^\circ$ ~ $+15^\circ$ の所にある 351 番目の天体である(図 1)。第 1 欄がこのカタログ番号名、それに続いて 1950 年分点の赤経、赤緯、位置の精度、K バンド (2.2μ) の等級と精度、I バンド (0.84μ) の等級と精度、色指数 I-K などが記載されている。見開きの右の頁には V 等級、スペクトル型、他のカタログとの対応、変光星名などが

+10 PAGE 1w												+10 PAGE 1z											
NO.	R.A.(1950)	DEC(1950)	E _A	E _D	RA _C	DEC _C	MAG _K	MAG _I	MAG _J	MAG _L	MAG _V	EXCESS	CHT-50	NK	NE	NO.	NO.	OB _S	OB _D	NO.			
+10351	18 6 8	+5 16 4	2	1.25	6.2	-0.1	1.77	0.98	0.68	6.17	0.08	0.06	4.39	9.10	2	2	+10351	0	1.0	0	0	0	0
+10352	18 11 37	+12 25 1	2	0.25	0.13	-0.1	2.01	0.98	0.74	3.74	0.67	0.57	4.20	9.10	2	2	+10352	0	1.0	0	0	0	0
+10353	18 11 37	+12 25 1	2	0.25	0.13	-0.1	2.01	0.98	0.74	3.74	0.67	0.57	4.21	9.11	2	2	+10353	0	1.0	0	0	0	0
+10354	18 11 46	+5 29 1	2	0.25	0.13	-0.1	2.01	0.98	0.74	3.74	0.67	0.57	4.22	9.11	1	2	+10354	0	1.0	0	0	0	0
+10355	18 11 46	+5 29 1	2	0.25	0.13	-0.1	2.01	0.98	0.74	3.74	0.67	0.57	4.23	9.11	1	2	+10355	0	1.0	0	0	0	0
+10356	18 12 23	+5 29 6	2	0.19	0.12	-1.5	1.73	0.97	0.65	3.68	0.68	0.62	3.89	9.12	1	2	+10356	0	1.0	0	0	0	0
+10357	18 12 23	+5 29 6	2	0.19	0.12	-1.5	1.73	0.97	0.65	3.68	0.68	0.62	3.90	9.12	1	2	+10357	0	1.0	0	0	0	0
+10358	18 26 22	+15 47 4	2	0.12	0.12	-0.1	2.81	0.10	1.82	7.04	0.21	2.58	4.83	0.23	2	+10358	0	1.0	0	0	0	0	
+10359	18 26 22	+15 47 4	2	0.12	0.12	-0.1	2.81	0.10	1.82	7.04	0.21	2.58	4.84	0.23	2	+10359	0	1.0	0	0	0	0	
+10360	18 27 49	+4 36 0	2	0.39	0.1	0.7	2.10	0.1	0.67	7.76	0.20	0.63	4.76	0.72	2	2	+10360	0	1.0	0	0	0	0
+10361	19 28 29	2 48 6	2	0.50	0.3	0.2	2.14	0.03	2.02	5.71	0.07	0.69	4.93	0.11	2	2	+10361	0	1.0	0	0	0	0
+10362	19 28 29	2 48 6	2	0.50	0.3	0.2	2.14	0.03	2.02	5.71	0.07	0.69	4.94	0.11	2	2	+10362	0	1.0	0	0	0	0
+10363	19 32 58	+10 25 1	2	0.12	0.12	-0.2	2.27	0.07	0.68	6.08	0.11	0.31	4.41	9.13	2	2	+10363	0	1.0	0	0	0	0
+10364	19 32 58	+10 25 1	2	0.12	0.12	-0.2	2.27	0.07	0.68	6.08	0.11	0.31	4.42	9.13	2	2	+10364	0	1.0	0	0	0	0
+10365	19 34 59	+12 37 0	1	10.08	0.2	-0.5	0.77	0.35	0.16	5.15	0.03	0.09	4.08	0.09	1	2	+10365	0	1.0	0	0	0	0
+10366	19 34 59	+12 37 0	1	10.08	0.2	-0.5	0.77	0.35	0.16	5.15	0.03	0.09	4.09	0.09	1	2	+10366	0	1.0	0	0	0	0
+10367	19 37 10	+11 46 1	1	1.55	0.2	-0.1	1.72	0.03	0.12	5.98	0.03	0.26	4.16	0.07	1	2	+10367	0	1.0	0	0	0	0
+10368	19 37 10	+11 46 1	1	1.55	0.2	-0.1	1.72	0.03	0.12	5.98	0.03	0.26	4.17	0.07	1	2	+10368	0	1.0	0	0	0	0
+10369	19 39 18	+16 27 2	1	18.12	0.5	0.1	2.08	0.07	0.09	6.13	0.09	2.60	4.27	0.11	1	2	+10369	0	1.0	0	0	0	0
+10370	19 39 33	+16 46 5	2	0.12	0.3	0.2	2.08	0.11	0.12	6.13	0.08	1.97	5.31	0.11	2	2	+10370	0	1.0	0	0	0	0

図 1 2μ サーベイによる IRC カタログ

* 京都大学理学部

T. Maihara, S. Sato: Catalogues of infrared sources.

TABLE I
SUMMARY OF DATA

UCL Source No.	INFRARED (40-350 μ)		RAIN CONTINUUM		IDENTIFICATION	Flux (10^{-12}W m^{-2})	Position (J200.0)	Size (arc min)	$L/10^4 L_\odot$	Flux (10^{-12}W m^{-2})	Position (IR - Radio)	Size (arc min)	Distance (kpc)
	Flux (10^{-12}W m^{-2})	Position (arc min)	Flux (10^{-12}W m^{-2})	Position ($\Delta\alpha - \Delta\delta$)									
1.....	135 (204)	0.0332 \pm 0.01 \pm 1'	2.5	1.05 (1.15)	G209.0-19.4 NGC 2038	23.8	+4.4 \pm 0.3	2.6 \times 3.5	0.5				
2.....	32	... -0.05 \pm 0.01 \pm 1'	...	0.16 (1.15)	G209.6-18.4 NGC 2034	42.4	...	3.5 \times 1.9	0.4				
4.....	36.5	0.0232 \pm 0.007 \pm 1'	1	11 (12)	W3, IC 1793	35.2	+4.4 \pm 0.4	1.3 \times <0.7	3.1				
7.....	3 (2.5)	0.0191 \pm 0.001 \pm 0.03	5	4.5 (2.2)	DR 15	7.5	+12 \pm 1.4	5.0 \times 5.0	4				
8.....	5	0.0180 \pm 0.001 \pm 0.03	5	1.00 (1.00)	M8, IRF 46	21.1	-4 \pm 0.6	3.7 \times 3.0	1.4				
9.....	17	1.78 \pm 0.05 \pm 0.03	...	4.3 IRF 43	15.4	0	0.0	3.8 \times 2.6	3.0				
10.....	6 (9.1)	1.72 \pm 0.05 \pm 0.03	2.5	1.9 G152.4-0.4	6.0	+5 \pm 1.1	3.0 \times 1.8	3.2					
11.....	15	1.721 \pm 0.05 \pm 0.03	3.5	0.47 G152.2-0.9	33.3	+3 \pm 3.0	2.5 \times 2.5	1					
12.....	18.5 (48.7)	1.722 \pm 0.05 \pm 0.03	5 \times 4	0.58 G152.1+0.7	28.1	+10 \pm 1.9	4.8 \times 2.9	1					
13.....	10 (24.5)	1.722 \pm 0.05 \pm 0.03	2	1.6 G152.2-0.2	29	-1 \pm 1.6	2.6 \times 2.2	5					
14.....	31	1.722 \pm 0.05 \pm 0.03	...	1.9 G152.2-0.2	15.7	-2 \pm 0.2	5.9 \times 3.0	6.2					
	26.5	1.722 \pm 0.05 \pm 0.03	...	0.97 NGC 634N OH/H ₂ O (G151.34 \pm 0.6)	...	-6 \pm 0.4	...	1					
				0.83 NGC 633	...	-10 \pm 1.0	...	1					

図2 南天の2μ サーベイ

記載されている。

このカタログの天体の約80%は星に対応がつけられている。しかし、Grasdalen and Gaustadは、The Dearborn Catalog of Faint Red Starsとの対応によるIdentificationを試みており、約93%が同定されたとしている(G.L. Grasdalen and J.E. Gaustad (1971) A.J. 76, 231.)。

(3) Results of an Infrared Stellar Survey, S.D. Price, (1968) Astron. J. 73, 431.

1967年ニュージーランドのマウントジョーンズ大学観測所において南天の2μ サーベイを行ったもの。赤緯-30°~-52°の間の天空のおよそ50%を掃いている。ただし、IRCカタログとちがってI-バンドは観測されていない。414個の2μ 源がリストアップされ、そのうち85%が既知の天体と同定されている。K等級で約3.5等より明るいものをカバーしている。図2は、そのカタログの一部である。

(4) Southern Infrared Standards and the Absolute Calibration of Infrared Photometry, J.A. Thomas, A.R. Hyland and G. Robinson. 1973, Mon. Not. Roy. Astron. Soc. 165, 201.

オーストラリアの赤外線グループが測光の標準を決めるために明るい星について注意深く較正を行ったもので、サンプル数は14個とわずかだが、北天のJohnson達のカタログ(1)に相当するものとして、南天では重宝なものであろう。波長は、J, H(1.65μ), K, L, M(5μ), 8.4μ バンド、N(10.2μ), 11.2μ バンドの8バンドの等級が記載されている。

(5) Broad-Band 20-Micron Photometry of 76 Stars, D. Morrison and T. Simon, 1973, Astrophys. J. 186, 193.

ハワイのマウナケア山頂の観測所で1971年から1973年にかけて20μ での測光を行った76個の星のリストである。含まれているサンプルは5個の第1標準星ならびに71個のB型から、M, S星である。記載されている事項は天体名に統いて、IRCカタログ番号、スペクトル型、変光型、観測年月日(J.D.)観測日数そして20μ での等級と χ^2 検定である。最後に他のいくつかのグループの測定値との比較なども記されている。

(6) Infrared Photometry of Extragalactic Sources, G.H. Rieke and F.J. Low, 1972, Astrophys. J. (Letters) 176, L95.

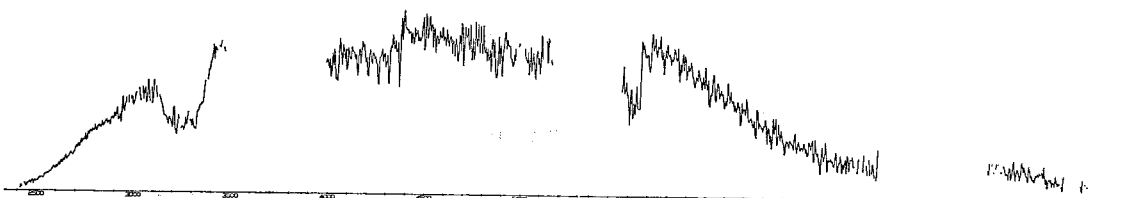
銀河系外の赤外線源については、カタログというほど整備されたものはないが、これまで最もサンプル数の多いものがこの論文にのっているリストであろう。これは10μ における57個の銀河系外の赤外線源が記載されており、そのうち特に明るいもの24個についてはK, L, M, N, Q(20μ)の5バンドでの強度が記されている。57個の内訳は、クエーサー6個、高光度銀河4個、セイファート銀河と鋭い輝線銀河23個、低光度銀河24個の計57個である。そのうち23個の源については、推定される距離から10μ 帯における輻射光度が求められている。

(7) 10-Micron Observations of Southern-Hemisphere Galaxies, D.E. Kleinmann and E.L. Wright, 1974, Astrophys. J. (Letters) 191, L19.

これは(6)の南天版として、ボイデン観測所(南アフリカ)において7個の銀河を観測したものである。内容は(6)とほぼ同じである。

(8) Infrared Spectra for 32 Stars, H.L. Johnson, and M. Méndez, 1970, Astron. J. 75, 785.

もう1つ地上の赤外線源カタログとして、32個の星について、近赤外領域の分光観測を行ったこの論文を挙げておきたい。テーブルの形のカタログというわけではないが、A0型からM7型星、それにC型星、赤外線星など非常に広範囲の星の1.2μ から4μ にわたるスペクトル(ただし大気の強い吸収帯は除かれている)を測っているので、それぞれの星の型に特徴的な近赤外領域の細かなスペクトルがほぼサーベイできている。観測はL.P.

図3 W Ori (C₆) の近赤外スペクトル

L. のカタリーナ観測所の 60 インチアルミ鏡にマイケルソン型フーリエ分光器をつけて行われており、分解能は約 8 cm^{-1} である。いくつかの星については $\text{C}^{12}/\text{C}^{18}$ 比が求められていたり、C 型星にみられる原因の明らかでない 3.1μ の吸収バンド(図 3)などが順次示されている。

2. 上空観測による赤外線源のカタログ

(1) 100-Micron Survey of the Galactic Plane, W.F. Hoffmann, C. L. Frederick and R. J. Emery, 1971, *Astrophys. J. (Letters)* 170, L89.

ホフマン達が 1970 年から 1971 年にかけての 3 回の気球観測で検出した 100μ 輻射源のカタログである。図 5 の天球図に示された領域、主に銀河面に沿った 750 平方度の空をサーベイして 72 個の天体をリストアップした。測定器は、口径約 30 センチメートルのニュートン型望遠鏡で 12 分角の視野を持ち、高度 27 km で合計観測時間 28 時間にわたってサーベイした。最低検出可能フラックスは $10^{-22} \text{ Wm}^{-2} \text{ Hz}^{-1}$ 、波長幅は 80μ から 135μ となっている。

発見された輻射源のうち 60 個が、電波源、散光星雲、暗黒星雲それに赤外線星などと同定されている。残りの 12 個は既知の天体との同定はできていない。リストされた輻射源のうちでも H_{II} 領域と対応のつくものが 46 個もあり、遠赤外線の起源として、 H_{II} 領域を励起している紫外線(Lyman-continuum)をダストが吸収して、 100μ 帯に再輻射するという機構が考えられている。

このカタログも全天のごく一部にすぎないが、北天から見える銀河面はほぼカバーしているので、地上からの分子線の探索や中間赤外領域での輻射線の探索にはよく使われている。そのほか空間的な分解能が高く、そして

位置精度の良い気球望遠鏡による各々の源のマッピングとか、遠赤外領域における多色測光でエネルギースペクトルを測定するといったプロジェクトの目標としても使われており、大変貴重なカタログといふことができる。

(2) AFCRL Infrared Sky Survey, R.G. Walker and S.D. Price, 1974 AFCRL Special Publication.

このカタログはアメリカの空軍関係のデータであることもあって直接入手することが困難であるが、現在の地上における赤外線観測の分野に非常に大きな影響力をもち始めている重要な文献である。

このサーベイはロケットを使って、波長 4μ , 11μ 及び 20μ の 3 バンドで 10 分角 \times 3 分角の視野によるスキャンで行われた。初めに述べたように、これらの波長領域は大気の熱輻射が極めて強いため、地上からは広い視野で観測することはできない。ロケットでは観測時間の制約から相当早いスキャンを行う必要があり、位置の精度はあまり良くないので、地上から望遠鏡を向けるわけにはいかず、苦労しているということだ。しかし 20μ 源の中にはこれまで予想もしていなかったような奇妙な天体が発見されたり (Sky and Telescope 49, 21 (1975)), オリオン星雲中の Becklin—Neugebauer の赤外線星と同じ位の明るさで同様の性質をもった天体がみつかったりしているなど、豊富な情報がしだいに断片的な形ながら発表されはじめた。

(3) Far-Infrared Observations of H_{II} Regions from Balloon Altitudes, J.P. Emerson, R.E. Jennings, and A.F.M. Moorwood, 1973, *Astrophys. J.* 184, 401.

U.C.L. (University College London) のグループがスタートラッカーのついた口径 40 センチメートルの望遠鏡で銀河面の一部をサーベイしてみつけた遠赤外線源のカタログである。ただし多くは Haffman 達のカタログ(1)と同じ源であるか、あるいはこれまでに即に一応フラックスの測定されたことのあるものである。実はこのプロジェクトでは、波長幅は十分に広くとて ($40 \sim 350\mu$)、各輻射源の空間的な細かいマッピングをすることを目的としている。従ってカタログでは、位置、サイズ、全光量、電波源との位置の比較などが重要な項目であると思

TABLE 3
 100μ SOURCE CATALOG

Source No. (1)	RA (2)	Dec (3)	μ (4)	d ^a (5)	Peak Flux Density (10^{-15} Wm $^{-2}$ Hz $^{-1}$) (6)	Signifi- cance (7)	Size (W \times H) (8)	Diameter (9)	100 μ Total Flux (10)	Star Name (11)	Identification (12)	Remarks (13)
1.....	52:29:44 ^b	-5:50 ^c	207:7 ^d	-20:8	1.5	5	P	1.5	...	IRC 60003	S 500	
2.....	52:26:56	-4:46	207:7	-20:4	1.6	6	P	1.6	1	IRC 60004	S 500	
3.....	52:26:46	-4:46	207:7	-20:2	1.7	6	P	1.9	...	NCC 1926	IC 1926	
4.....	5:31:09	-5:42	209:1	-19:9	1.7	6	0.4	3.3	BD +5:31:09	IC 1927	IC 1927	
5.....	S 32:56	-4:45	208:4	-19:1	2.0	10	P	2.9	RB	NCG 1972	DS 208:5	
6.....	S 33:01	-5:24	209:0	-19:3	35	276	P	35	IRUM 01	M 208	NAC 1976	V 10:0

図 4 100 μ サーベイによる HFE カタログ

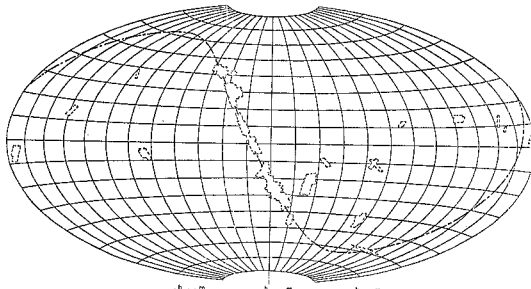


図 5 100 μ サーベイの領域

Observed Date (1)	Ref. frame (2)	ra (3)	dec (4)	100 μ (5)		m.s.s (6)		100 μ (7)		SpI (8)		Comments (9)	
				RA	Dec	ra	dec	mag	SpI	mag	SpI		
W.U. 40350	ICRS	17:56:49 ^b	-1:04 ^c	1.3	-29:44 ^d	15:56:00 ^e	-3:25	7.34	IR	0.3	-29:00:04	1	
1.....	-29:44:00	17:56:49	-1:04	1.3	-29:44:00	15:56:00	-3:25	7.34	IR	0.3	-29:00:04		
2.....	7:24:23	17:56:49	-1:04	0.2	-39:09	7:24:23	-0.9	9.56	IR	0.3	-39:51:19	Y Cen	
3.....	14:15:16	17:56:49	-1:04	-5:15	-16:30	14:15:16	-9.7	10.5	IR	-3:4	-39:11:05	SR Sco	
4.....	14:15:16	17:56:49	-1:04	-5:15	-16:30	14:15:16	-9.7	10.5	IR	-3:4	-39:11:05	SR Sco	
5.....	11:25:25	17:56:49	-1:04	1.2	-30:49	11:25:25	-1:19	9.7	IR	0.1	-39:53:53	IC 1928	
6.....	11:25:25	17:56:49	-1:04	1.2	-30:49	11:25:25	-1:19	9.7	IR	0.1	-39:53:53	IC 1928	
7.....	10:25:00	17:56:49	-1:04	0.8	-30:49	10:25:00	-2.1	9.42	IR	0.4	-36:00:00	TV Com	
8.....	10:25:00	17:56:49	-1:04	0.8	-30:49	10:25:00	-2.1	9.42	IR	0.4	-36:00:00	TV Com	
9.....	12:14:03	17:56:49	-1:04	3.0	-30:47	7:58:51	-3.04	8.22	IR	-0.9	-39:52:02	IC 1929	
10.....	12:14:03	17:56:49	-1:04	3.0	-30:47	7:58:51	-3.04	8.22	IR	-0.9	-39:52:02	IC 1929	
11.....	16:31:23	17:56:49	-1:04	1.1	-31:08	16:31:23	-1:05	9.5	SpI	-0.5	-39:52:23	IR	
12.....	16:31:23	17:56:49	-1:04	1.1	-31:08	16:31:23	-1:05	9.5	SpI	-0.5	-39:52:23	IR	
13.....	14:36:23	17:56:49	-1:04	3.7	-31:27	14:36:23	-2.59	9.04	IR	1.1	-31:11:07	IC 1930	
14.....	14:36:23	17:56:49	-1:04	3.7	-31:27	14:36:23	-2.59	9.04	IR	1.1	-31:11:07	IC 1930	
15.....	12:12:45	17:56:49	-1:04	2.5	-31:24	12:12:45	-2.08	7.49	IR	-0.4	-39:57:09	IC 1931	
16.....	11:29:32	17:56:49	-1:04	0.6	-31:25	11:29:32	-1.15	11.75	GTII	-1.0	-31:03:32	IC 1932	
17.....	11:29:32	17:56:49	-1:04	0.6	-31:25	11:29:32	-1.15	11.75	GTII	-1.0	-31:03:32	IC 1932	
18.....	17:56:49	17:56:49	-1:04	3.8	-31:45	17:56:49	-1.01	11.83	IR	-0.3	-38:03:15	USSS SpI	
19.....	17:56:49	17:56:49	-1:04	3.8	-31:45	17:56:49	-1.01	11.83	IR	-0.3	-38:03:15	USSS SpI	
20.....	11:29:14	17:56:49	-1:04	2.2	-22:35	11:29:14	-1:09	9.5	SpI	0.1	-31:04:02	IC 1933	
21.....	11:29:14	17:56:49	-1:04	2.2	-22:35	11:29:14	-1:09	9.5	SpI	0.1	-31:04:02	IC 1933	
22.....	12:12:27	17:56:49	-1:04	1.6	-23:12	12:12:27	-5.0	9.5	SpI	-0.4	-32:11:27	IM Sco	
23.....	12:12:27	17:56:49	-1:04	1.6	-23:12	12:12:27	-5.0	9.5	SpI	-0.4	-32:11:27	IM Sco	
24.....	12:12:27	17:56:49	-1:04	1.6	-23:12	12:12:27	-5.0	9.5	SpI	-0.4	-32:11:27	IM Sco	
25.....	12:12:27	17:56:49	-1:04	1.6	-23:12	12:12:27	-5.0	9.5	SpI	-0.4	-32:11:27	IM Sco	
26.....	12:12:27	17:56:49	-1:04	1.6	-23:12	12:12:27	-5.0	9.5	SpI	-0.4	-32:11:27	IM Sco	
27.....	12:12:27	17:56:49	-1:04	1.6	-23:12	12:12:27	-5.0	9.5	SpI	-0.4	-32:11:27	IM Sco	
28.....	12:12:27	17:56:49	-1:04	1.6	-23:12	12:12:27	-5.0	9.5	SpI	-0.4	-32:11:27	IM Sco	
29.....	12:12:27	17:56:49	-1:04	1.6	-23:12	12:12:27	-5.0	9.5	SpI	-0.4	-32:11:27	IM Sco	
30.....	12:12:27	17:56:49	-1:04	1.6	-23:12	12:12:27	-5.0	9.5	SpI	-0.4	-32:11:27	IM Sco	
31.....	12:12:27	17:56:49	-1:04	1.6	-23:12	12:12:27	-5.0	9.5	SpI	-0.4	-32:11:27	IM Sco	
32.....	12:12:27	17:56:49	-1:04	1.6	-23:12	12:12:27	-5.0	9.5	SpI	-0.4	-32:11:27	IM Sco	
33.....	12:12:27	17:56:49	-1:04	1.6	-23:12	12:12:27	-5.0	9.5	SpI	-0.4	-32:11:27	IM Sco	
34.....	12:12:27	17:56:49	-1:04	1.6	-23:12	12:12:27	-5.0	9.5	SpI	-0.4	-32:11:27	IM Sco	
35.....	12:12:27	17:56:49	-1:04	1.6	-23:12	12:12:27	-5.0	9.5	SpI	-0.4	-32:11:27	IM Sco	
36.....	12:12:27	17:56:49	-1:04	1.6	-23:12	12:12:27	-5.0	9.5	SpI	-0.4	-32:11:27	IM Sco	
37.....	12:12:27	17:56:49	-1:04	1.6	-23:12	12:12:27	-5.0	9.5	SpI	-0.4	-32:11:27	IM Sco	
38.....	12:12:27	17:56:49	-1:04	1.6	-23:12	12:12:27	-5.0	9.5	SpI	-0.4	-32:11:27	IM Sco	
39.....	12:12:27	17:56:49	-1:04	1.6	-23:12	12:12:27	-5.0	9.5	SpI	-0.4	-32:11:27	IM Sco	
40.....	12:12:27	17:56:49	-1:04	1.6	-23:12	12:12:27	-5.0	9.5	SpI	-0.4	-32:11:27	IM Sco	
41.....	12:12:27	17:56:49	-1:04	1.6	-23:12	12:12:27	-5.0	9.5	SpI	-0.4	-32:11:27	IM Sco	
42.....	12:12:27	17:56:49	-1:04	1.6	-23:12	12:12:27	-5.0	9.5	SpI	-0.4	-32:11:27	IM Sco	
43.....	12:12:27	17:56:49	-1:04	1.6	-23:12	12:12:27	-5.0	9.5	SpI	-0.4	-32:11:27	IM Sco	
44.....	12:12:27	17:56:49	-1:04	1.6	-23:12	12:12:27	-5.0	9.5	SpI	-0.4	-32:11:27	IM Sco	
45.....	12:12:27	17:56:49	-1:04	1.6	-23:12	12:12:27	-5.0	9.5	SpI	-0.4	-32:11:27	IM Sco	
46.....	12:12:27	17:56:49	-1:04	1.6	-23:12	12:12:27	-5.0	9.5	SpI	-0.4	-32:11:27	IM Sco	
47.....	12:12:27	17:56:49	-1:04	1.6	-23:12	12:12:27	-5.0	9.5	SpI	-0.4	-32:11:27	IM Sco	
48.....	12:12:27	17:56:49	-1:04	1.6	-23:12	12:12:27	-5.0	9.5	SpI	-0.4	-32:11:27	IM Sco	
49.....	12:12:27	17:56:49	-1:04	1.6	-23:12	12:12:27	-5.0	9.5	SpI	-0.4	-32:11:27	IM Sco	
50.....	12:12:27	17:56:49	-1:04	1.6	-23:12	12:12:27	-5.0	9.5	SpI	-0.4	-32:11:27	IM Sco	
51.....	12:12:27	17:56:49	-1:04	1.6	-23:12	12:12:27	-5.0	9.5	SpI	-0.4	-32:11:27	IM Sco	
52.....	12:12:27	17:56:49	-1:04	1.6	-23:12	12:12:27	-5.0	9.5	SpI	-0.4	-32:11:27	IM Sco	
53.....	12:12:27	17:56:49	-1:04	1.6	-23:12	12:12:27	-5.0	9.5	SpI	-0.4	-32:11:27	IM Sco	
54.....	12:12:27	17:56:49	-1:04	1.6	-23:12	12:12:27	-5.0	9.5	SpI	-0.4	-32:11:27	IM Sco	
55.....	12:12:27	17:56:49	-1:04	1.6	-23:12	12:12:27	-5.0	9.5	SpI	-0.4	-32:11:27	IM Sco	
56.....	12:12:27	17:56:49	-1:04	1.6	-23:12	12:12:27	-5.0	9.5	SpI	-0.4	-32:11:27	IM Sco	
57.....	12:12:27	17:56:49	-1:04	1.6	-23:12	12:12:27	-5.0	9.5	SpI	-0.4	-32:11:27	IM Sco	
58.....	12:12:27	17:56:49	-1										

ってよいであろう。

- (4) Detection of New Celestial Objects at Far-Infrared Wavelengths, M.W. Friedlander, J.H. Goebel, and R.D. Joseph, 1974, *Astrophys. J. (Letters)* **194**, L5.

ワシントン大学のグループが遠赤外線波長で全天を一様にくまなくサーベイすることを目的とした気球観測のいわば preliminary な報告の形のカタログである。波長 50μ から 500μ までの全フラックスを $1^\circ \times 0.65^\circ$ の視野で測定している。1973年の観測で10時間にわたるスキャンの結果12個の源が検出され、位置(赤経、赤緯と銀經、銀緯)、強度、関係のありそうな多くの天体が記載されている。しかしこれなども観測自体ノイズに悩まされたもののように、まだカタログとして完備したものにはほど遠い。

- (5) Two Color Far Infrared Photometry of Some Galactic H_{II} Regions, H. Olthof, and R.J. van Duinen, 1973, *Astron. Astrophys.*, **29**, 315.

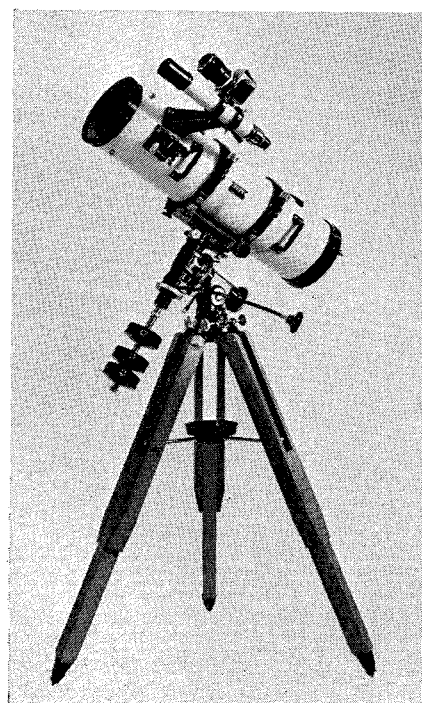
- (6) Multicolor Far Infrared Photometry of Galactic H_{II} Regions, H. Olthof, 1974, *Astron. Astrophys.*, **33**, 471.

オランダのグロニンゲン大学のグループによる、H_{II}領域多色測光を目指した気球実験で観測された、遠赤外線源のリストである。(5)では銀河中心を含む約 34° (赤

径) $\times 27^\circ$ (赤緯)の領域をスキャンして検出された9個の源について $71-95\mu$ と $84-130\mu$ の2バンドの強度が掲げられている。更に、距離、グレイン粒子の温度の推定値、全輻射エネルギー、UVの光度の推定値などがテーブルになっている。(6)では、更に $30-38\mu$, $111-154\mu$, $114-196\mu$ の各バンドがつけ加わって17個の遠赤外線源のリストとして掲げられている。

- (7) Infrared Emission from H_{II} Regions, C.G. Wynn-Williams, and E.E. Becklin, 1974, *Publ. Astron. Soc. Pacific*, **86**, 5.

これはH_{II}領域の赤外線観測のレビューで、地上観測と上空観測の両方がカバーされている。これもカタログという意味あいはあまりないかも知れないが、これまでに地上あるいは上空で赤外観測のなされたH_{II}領域52個について、主に地上観測と考えられる 40μ 以下と、主に上空観測で測られた 40μ 以上の2つに分けて、それぞれの文献をリストアップしている。著者の1人 Wynn-Williams はもともと電波観測の分野で仕事をしている人で、赤外線源と電波との密接な関係に注目し、OH メーザー源になっている赤外線源の H_{II} 領域17個について、H₂O 輻射と電波の連続波輻射の有無を調べたデータも併せて載せられている。それぞれ文献がていねいに挙げられているので、何かと便利なカタログである。



15cm新時代をひらく CX-150型 反射式赤道儀

D : 153mm f : 1310mm
定価 180,000円

- コンピューター設計による高性能新光学系
(球面主鏡+補正・延長レンズ+斜鏡)
- 鏡筒長は同等F値(F/8.5)のニュートン式に比べ約60%に短縮
- 震動性の低減にともない、剛性・精度を保ちながら軽量コンパクト化に成功
(組立重量 27kg)
- 短焦点化(F/5.6)用付属レンズ開発中
カタログ呈(誌名記入)

ミザール望遠鏡

 日野金属産業株式会社

本社／東京都目黒区碑文谷1-10-8
〒152 TEL 03-711-7751(代)
大阪支店／ TEL 06-757-5801(代)

本製品は東京都
知事により開発
助成並びに輸出
推奨品の認定を
受けました。